

著者は昨年の水理研究会⁵⁾および年次学会⁴⁾において、一般断面をもつ南水路弯曲流水の特性曲線による数値解法と平し、梯形断面形の場合の数値解法の結果の一部、および放物形断面形における弯曲部端断面の水面形などについて報告した。その報告では弯曲部に発生する三次元的な現象とマクロな立場をとると、二次流の理論解と積分することによってその基礎方程式とし、もっぱら数値解法のみと手続した。しかし二次流の理論解、それに導入した補正係数など、実験的検証が必要である。本報告では諸項時に図

1に示す弯曲水路による実験結果とその考察と報告する予定があるが、こゝでは昨年の水理研究会の報告にひきつづき、数値計算のフローチャートなど、その実際計算の手続について報告する。

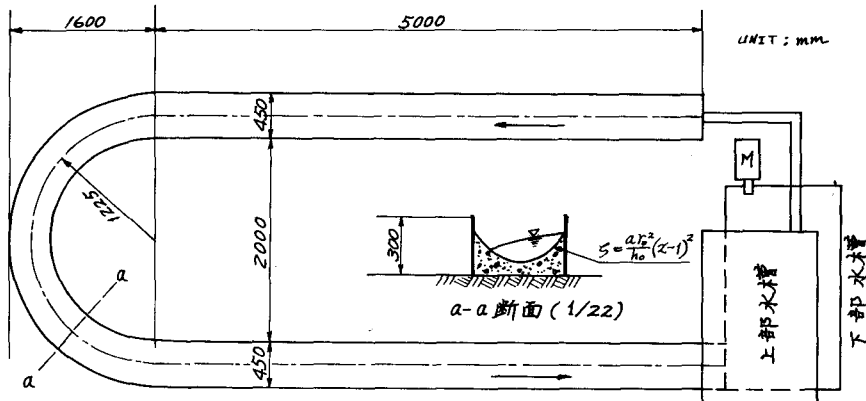


図-1 実験水路平面図 (1/45)

1. 特性曲線の性質

図-2に示す弯曲流水の場合において、流れの基礎方程式の特性曲線 $C_+(\beta_+)$ 、および $C_-(\beta_-)$ はそれぞれ、

$$\left. \begin{aligned} \left(\frac{dy}{dx}\right)_{\pm} &= \frac{k}{2} \frac{\beta_{\pm}}{\sigma_0} \left(\frac{r_0}{h_0}\right) \frac{U}{\gamma^2 \sigma_0^2} (-R_m U^2 + \gamma^3) & : C_{\pm}(\beta_{\pm}) \\ \left\{ J_{00} \left(\frac{r_0}{h_0}\right)^2 \gamma^2 \gamma^3 \left(\frac{r_0}{h_0}\right)^2 \gamma^2 U^2 - Q_m U^2 \gamma^2 + B_m \frac{U \gamma^3}{\beta_{\pm}} - \frac{2}{k} \frac{\gamma \gamma^2 \partial \sigma}{U \beta_{\pm} \partial x} \right\} dx & \\ &= \frac{2}{k} \frac{\gamma^2 \gamma}{U \beta_{\pm}} (Q_m k \beta_{\pm} U^2 du + \gamma^3 d\gamma) & \end{aligned} \right\} \quad (1) \text{ 符号同順}$$

$$\Rightarrow \beta_{\pm} = \frac{R_m \gamma^4 \pm \gamma^2 \sqrt{(R_m^2 - k Q_m C_m) \gamma^4 + k Q_m C_m R_m U^2 \gamma}}{k Q_m (-R_m U^2 + \gamma^3 U)} \quad (2) \text{ 符号同順}$$

$P_m, Q_m, R_m, C_m, B_m, k$ は定数、 $x = r/r_0, y = \theta/\sigma_0, \gamma(x, y) = h/h_0, \sigma(x, y) = \varepsilon(x, y)/h_0, U(x, y) = \gamma \sigma_0, \sigma_0 = \sqrt{g h_0}, h_0$ は弯曲部端断面における水路中央の水深、 r_0 は水路中央弯曲曲線の曲率半径、 σ_0 は弯曲部分の中心角、 J_{00} は主流方向の水圧勾配、 $\varepsilon(x, y)$ は基準水平面からの河床高さである。(2)式を(1)式に代入すると、

$$\left(\frac{dy}{dx}\right)_{\pm} = \frac{r_0}{2 Q_m h_0 \sigma_0} \frac{1}{\gamma^2} (R_m \gamma^2 \pm \sqrt{(R_m^2 - k Q_m C_m) \gamma^4 + k Q_m C_m R_m U^2 \gamma}) \quad (3)$$

$(dy/dx)_{\pm}$ の符号について、 $(dy/dx)_{\pm}$ は恒等的に正であるが、 $(dy/dx)_{-}$ は $D = -R_m U^2 + \gamma^3$ と同符号で、一般に凸岸付近では負、水路中央付近では符号をかえて凹岸より正の値をとる。図-3はその特性の概要を示す。図-2において、相対座標する2点 $P_u(x_u, y_u)$ および $P_d(x_d, y_d)$ は既知とし、 $x_u \leq x_d$ とする。これら2点から発進する特性曲線は一般に $C_{uu}, C_{ud}, C_{du}, C_{dd}$ の4本が存在し、点 P_u, P_d と対称直線の両側

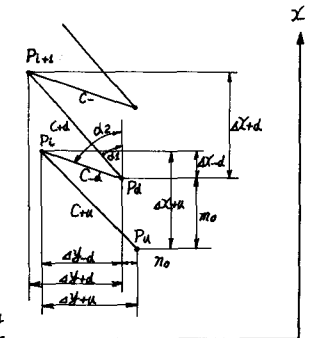


図-2 一般計算説明図

にそれぞれの変から発進する曲線の交差 ($C-u$ と $C-d$ の交差, $C-u$ と $C+d$ の交差) がそれぞれ一つずつ存在する。いま直線 $P_u P_d$ の左側に存在する交差のみを注目すると、直線 $P_u P_d$ の勾配 $\xi = (y_d - y_u) / (x_d - x_u)$ と $C+u$ および $C+d$ の変 P_u および P_d における接線との相対的大小関係によって、表-1 のように特性づけられる。ただし、 $(dy/dx)_u$, $(dy/dx)_d$ のうち大きい方を $(dy/dx)_e$, 小さい方を $(dy/dx)_s$ とし、 $(dy/dx)_u$, $(dy/dx)_d$ のうち大きい方を $(dy/dx)_e$, 小さい方を $(dy/dx)_s$ とする。

図-3 において、 $y=0$ は彎曲な境界断面であり、境界条件は Γ の断面において与えられるとする。すなわち断面上の各点における $u(x,y)$, $\psi(x,y)$ は既知とする。 $(dy/dx)_e$ は Γ の境界断面上直線 LU 上で負、 DM 上で正となり、変 U と D の間で符号をかえる。変 U , D を通る特性曲線 $C-(B)$ と A U D B とすると、一般に領域 $AULL$ 内の交は表-1 の条件 1 の交であり、領域 DBM 内の交は条件 2 の交である。

以上の Γ から計算順序として、まず境界断面 LM 上で j 方向に計算をするので、領域 $AULL$ および DBM 内の解とえて、変 U , D を含む特性曲線 $AUDB$ の決定と、その曲線上での解をうることを第一段階とした。第二段階は特性曲線 $AUDB$ 断面上の解を境界条件として i 方向に計算を進めるわけである。

2. i 方向への計算手順

1) Γ の未知変 Q , R の決定

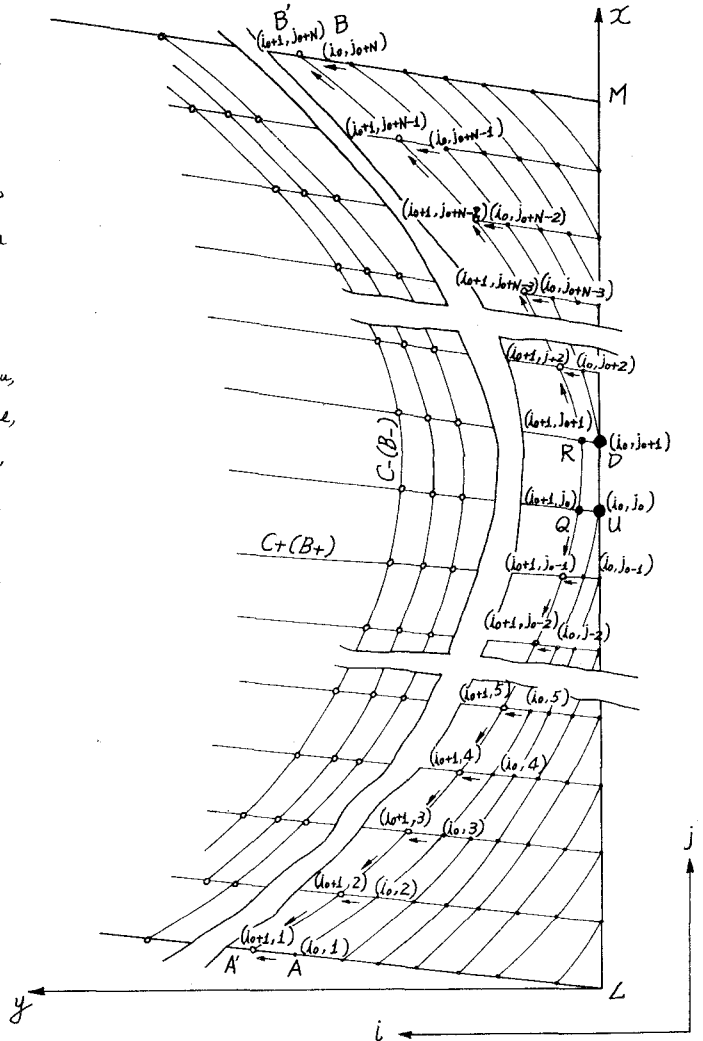


図-3 特性曲線特性図

	条件	交差の特性
1	$(\frac{dy}{dx})_e < \xi < (\frac{dy}{dx})_s$	$C+u$ と $C-d$ の交差
2	$\xi < (\frac{dy}{dx})_s$, または $\xi > (\frac{dy}{dx})_e$	$C-u$ と $C+d$ の交差
3	$\xi = (\frac{dy}{dx})_u$, または $\xi = (\frac{dy}{dx})_d$	P_u 変自身か交差
4	$\xi = (\frac{dy}{dx})_d$, または $\xi = (\frac{dy}{dx})_e$	P_d 変自身か交差
5	$(\frac{dy}{dx})_s < \xi < (\frac{dy}{dx})_e$, または $(\frac{dy}{dx})_e < \xi < (\frac{dy}{dx})_s$	解なし

表-1 交差の特性

図-3において特性曲線AUBDに近接する特性曲線をA'QRB'とし、図-4のように点U, Dに対応するその曲線上の点をそれぞれQ, Rとする。式(4)を差分方程式に変形し、簡単なために、 $\Delta y_{tu} = \Delta y_{td} = \omega(\text{const.})$ とすると、点P, Qの解はつぎのように得られる。

$$\Delta x_{ru} = \omega / f_{ru}, \quad \Delta x_{td} = \omega / f_{td} \quad (2)$$

$$\begin{bmatrix} \varphi_{15} \\ \varphi_{25} \\ \varphi_{35} \\ \varphi_{45} \end{bmatrix} = - \begin{bmatrix} 0 & 0 & \varphi_{13} & \varphi_{14} \\ \varphi_{21} & \varphi_{22} & 0 & 0 \\ 0 & 0 & \varphi_{33} & \varphi_{34} \\ \varphi_{41} & \varphi_{42} & \varphi_{43} & \varphi_{44} \end{bmatrix} \cdot \begin{bmatrix} \Delta y_{td} \\ \Delta U_{td} \\ \Delta y_{ru} \\ \Delta U_{ru} \end{bmatrix} \quad (5)$$

$$\left. \begin{aligned} x_Q &= x_U + \Delta x_{ru} \\ y_Q &= y_U + \Delta y_{ru} \\ u_Q &= u_U + \Delta U_{ru} \\ \gamma_Q &= \gamma_U + \Delta \gamma_{ru} \end{aligned} \right\} \quad (6)$$

$$\left. \begin{aligned} x_R &= x_D + \Delta x_{td} \\ y_R &= y_D + \Delta y_{td} \\ u_R &= u_D + \Delta U_{td} \\ \gamma_R &= \gamma_D + \Delta \gamma_{td} \end{aligned} \right\} \quad (7)$$

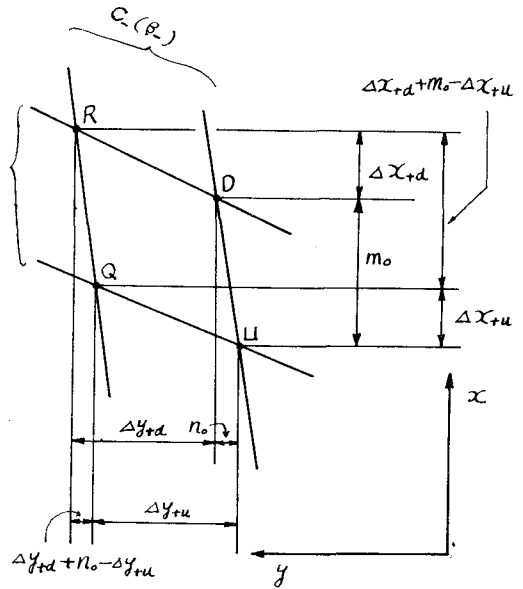


図-4 計算説明図

z = 1; 式(4)の第1式と式(5)の第1式は点QとUが特性曲線 $C_-(\beta_r)$ 上に存在するための必要条件であり、式(4)の第2式と式(5)の第2式は点RとDが同類の特性曲線上に存在するための必要条件である。さらに式(4)の第3と第4式は点RとQが特性曲線 $C_-(\beta_r)$ 上に存在するための条件である。式(4), (5)と連立方程式として解けば、式(6), 式(7)によって解がえられるわけである。よして、

$$\left. \begin{aligned} \varphi_{13} &= -S_{ru}, \quad \varphi_{14} = -L_{ru}, \quad \varphi_{15} = \omega g_{ru} / f_{ru} \\ \varphi_{21} &= -S_{td}, \quad \varphi_{22} = -L_{td}, \quad \varphi_{25} = \omega g_{td} / f_{td} \\ \varphi_{33} &= m_0 E_{ru}, \quad \varphi_{34} = m_0 F_{ru}, \quad \varphi_{35} = m_0 f_{ru} - n_0 + \omega f_{ru} (f_{ru} - f_{td}) / f_{ru} f_{td} \\ \varphi_{41} &= S_{ru}, \quad \varphi_{42} = L_{ru}, \\ \varphi_{43} &= -m_0 L_{ru} - S_{ru} + (\gamma_{td} - \gamma_{ru}) V_{ru} + 4 Q_m x_U u_U \gamma_U (u_U - u_U) \\ \varphi_{44} &= -m_0 M_{ru} - L_{ru} + (\gamma_{td} - \gamma_{ru}) W_{ru} + 2 Q_m \gamma_U^2 x_U (x_D - u_U) \\ \varphi_{45} &= (u_U - u_U) (L_{ru} + 2 Q_m \gamma_U^2 u_U \omega / f_{ru}) + (\gamma_{td} - \gamma_{ru}) (S_{ru} + \omega \Pi_{ru} / f_{ru}) \\ &\quad + g_{ru} (-m_0 - \omega / f_{td} + \omega / f_{ru}) - m_0 g_{ru} \omega / f_{ru} \end{aligned} \right\} \quad (8)$$

$$z = 1: \left. \begin{aligned} E_{ru} &= \frac{k r_0}{2 h_0 \theta_0} \left\{ P_{ru} \left(\frac{-R_m u_U^3}{\gamma_U^5} + \frac{u_U}{\gamma_U^2} \right) + \beta_{ru} \left(\frac{5 R_m u_U^3}{\gamma_U^5} - \frac{2 u_U}{\gamma_U^2} \right) \right\} \\ F_{ru} &= \frac{k r_0}{2 h_0 \theta_0} \left\{ \delta_{ru} \left(\frac{-R_m u_U^3}{\gamma_U^5} + \frac{u_U}{\gamma_U^2} \right) + \beta_{ru} \left(\frac{-3 R_m u_U^2}{\gamma_U^5} + \frac{1}{\gamma_U^2} \right) \right\} \end{aligned} \right\} \quad (9)$$

$$P_{ru} = \frac{2 R_m \gamma_U^2 - m_u \gamma_U^2}{k Q_m (-R_m u_U^3 + \gamma_U^3 u_U)} + \frac{2 \beta_{ru}}{\gamma_U} - \frac{3 u_U \gamma_U^2 \beta_{ru}}{-R_m u_U^3 + \gamma_U^3 u_U} \quad (10)$$

$$\left. \begin{aligned} g_{-u} &= \frac{-R_u \gamma_u^2}{k Q_m (-R_m U_u^2 + \gamma_u^3 U_u)} - \frac{\beta_{-u} (-3 R_m U_u^2 + \gamma_u^3)}{-R_m U_u^3 + \gamma_u^3 U_u} \\ m_u &= \left\{ \frac{4 \gamma^3 (R_m^2 - k Q_m C_m) + k Q_m C_m R_m U^2}{2 \sqrt{(R_m^2 - k Q_m C_m) \gamma^4 + k Q_m C_m R_m U^2 \gamma}} \right\}_u \\ n_u &= \left\{ \frac{k Q_m C_m R_m \gamma U}{\sqrt{(R_m^2 - k Q_m C_m) \gamma^4 + k Q_m C_m R_m U^2 \gamma}} \right\}_u \end{aligned} \right\} \quad (11)$$

$$\left. \begin{aligned} G_{-u} &= 2 J_{00} \left(\frac{r_0}{h_0} \right)^2 \chi_u \gamma_u^3 - 2 \left(\frac{r_0}{h_0} \right)^2 \chi_u U_u^2 - \frac{2}{k} \frac{\gamma_u^5}{U_u \beta_u} \left(\frac{\partial S}{\partial x} \right)_u \\ L_{-u} &= 3 J_{00} \left(\frac{r_0}{h_0} \right)^2 \chi_u^2 \gamma_u^2 - 2 Q_m U_u^2 \gamma_u + \frac{B_m}{\beta_u^2} (3 \beta_u U_u \gamma_u^2 - U_u \gamma_u^3 P_{-u}) - \frac{2}{k} \frac{\chi_u \gamma_u^4}{U_u \beta_u^2} (5 \beta_u - P_{-u} \gamma_u) \left(\frac{\partial S}{\partial x} \right)_u \\ M_{-u} &= -2 \left(\frac{r_0}{h_0} \right)^2 \chi_u^2 U_u - 2 Q_m U_u \gamma_u^2 + \frac{B_m}{\beta_u^2} (\beta_u \gamma_u^3 - U_u \gamma_u^3 g_{-u}) + \frac{2}{k} \frac{\chi_u \gamma_u^5}{(U_u \beta_u)^2} (U_u g_{-u} + \beta_u) \left(\frac{\partial S}{\partial x} \right)_u \\ \Pi_{-u} &= \frac{2}{k} \frac{\gamma_u^5}{U_u \beta_u} \\ V_{-u} &= \frac{2}{k} \frac{\chi_u \gamma_u^4}{U_u \beta_u^2} (5 \beta_u - \gamma_u P_{-u}) \\ W_{-u} &= \frac{-2 \chi_u \gamma_u^5}{k (U_u \beta_u)^2} (g_{-u} U_u + \beta_u) \end{aligned} \right\} \quad (12)$$

$$\left. \begin{aligned} f_{+u} &= \left\{ \frac{k}{2 \theta_0} \left(\frac{r_0}{h_0} \right) - \frac{U \beta_u}{\gamma_u^5} (-R_m U^2 + \gamma^3) \right\}_u \\ g_{+u} &= \left\{ J_{00} \left(\frac{r_0}{h_0} \right)^2 \chi \gamma^3 - \left(\frac{r_0}{h_0} \right)^2 \chi^2 U^2 - Q_m U^2 \gamma^2 + B_m \frac{U \gamma^3}{\beta_u} - \frac{2}{k} \frac{\chi \gamma^5}{U \beta_u} \frac{\partial S}{\partial x} \right\}_u \\ S_{+u} &= \left(\frac{2}{k} \frac{\gamma^5 \pi}{U \beta_u} \right)_u \\ Q_u &= 2 Q_m (\gamma^2 \chi U)_u \end{aligned} \right\} \quad (13)$$

また f_u, g_u, S_u はそれぞれ上式 f_{+u}, g_{+u}, S_{+u} において β_u の代りに β を用いた場合の真値 Q_u の値であり、 Q_u は Q の u の値を表す。

2) 特性曲線 A'QRB' の決定

図-3 において、真 Q および R が決定されると、特性曲線 A'QRB' 上の Q および R の近接点 $(i+1, j+1)$ および $(i+1, j+2)$ はそれぞれ \rightarrow の既知点 (i_0+1, j_0) と (i_0, j_0-1) および (i_0+1, j_0+1) と (i_0, j_0+2) によって決定される。順次この計算を図-3 の矢印のように進めて、特性曲線 A'QRB' を決定することができ、 i 方向の特性曲線 $i+2, i+3, \dots$ の決定は 1) および 2) の計算の繰返しで実行可能である。

参考文献

1. I. R. Rozovskii, "Flow of Water in Bends of Open Channels" Translated from Russian, 1961.
2. A. I. Ippen, P. A. Drinker, W. R. Jobin, and G. K. Noutsopoulos, "The Distribution of Boundary Shear Stress in Curved Trapezoidal Channel", Technical Report No. 43, 1960.
3. A. I. Ippen, P. A. Drinker, W. R. Jobin, O. H. Shewdin, "Stream Dynamics and Boundary Shear Distribution for Curved Trapezoidal Channels, Report No. 47, 1962.
4. 松原俊三郎, "南水路弯曲部流水の物理特性について", 土木学会第 24 回年次学会講演集, P. 121, 1969.
5. 松原俊三郎, "南水路弯曲部における流水の解法について", 水理研究会第 14 回講演集, P. 71, 1970.